

名古屋大学 ○正田辺頭
電力中央研究所 正山川秀次

1. 序 コンクリートダムの熱応力制御の主たる方法として、従来からパイプクーリング法が使用されているが、近年は、ダムに限らず重要なマスコンクリート工事に同手法が使われつつある。例えば多度津に建設された原子力工試験センター振動台の基礎マット工事は、その代表とも言えるものであって、各プロック各リフト内にクーリング用パイプを布設して慎重な熱応力制御を行った。重要なマスコンクリート工事で、かつ高配合コンクリートが増す程、クーリングによる熱応力制御は必要になると思われる。

クーリングを行う為には、配管網の適切な配置、管径ならびにクーリング水の流速、初期水温に対する適切な選択が必要であるが、これらは発熱固体中の配管網からの熱除去効果の解析が精度よく行われば始めて可能となる。

現在、ダム等に使用されている解析手法は、米国Boulderダム建設当時に開発された手法であって、他の手法は殆んど使用されていない。しかし、この解析手法については、(i)仮定が多くて、実際のシミュレーションの精度が明らかでないこと、例えは、クーリングパイプ一本当たりの有効領域を円として解析するが、一断面中に含まれる各パイプ中の水温が異なり、有効領域は円ではなくし、その領域は時間とともに変動する。又パイプと水との境界は熱伝達境界であるが、固定温度境界として取り扱っている。パイプ周囲の熱伝導場を向かう方向の座標として取り扱っている等、又、その他にも(ii)コンクリートの発熱過程を考慮することはできない、(iii)単純なパイプ配置のみが計算可能である等の問題点があり、更に精度のよい解析手法の開発が望まれている。

上記の事情に鑑みて、パイプクーリング効果の精度より解析手法の開発を目指して始めた研究のうち、本報告では、パイプと水との熱伝達境界の平均熱伝達率を求めるためのオーステップとしての理論解を提示する。

2. 解析理論 図-1のように、直方体、ならびに直方体に埋設されたパイプに対して、直交デカルト座標(x, y, z)、あるいは(ξ, η, ζ)、スパイプに沿って局所座標 s とする。熱伝達率だけを本題にしていけるので、定常熱伝導を想定して、

$$\frac{\partial^2 T_c}{\partial x^2} + \frac{\partial^2 T_c}{\partial y^2} + \frac{\partial^2 T_c}{\partial z^2} + \frac{Q_c}{K_c} = 0 \quad \dots \dots \dots \quad (1)$$

$= z$, T_c はコンクリートの温度, K_c はコンクリートの熱伝導率で場所によらず一定, Q_c は発熱率であるが、クーリングパイプ位置では負の発熱率があると考える。

(1)式を満たすオイラー Green関数を求める。即ち,

$$\nabla^2 G_c + \delta(x-\xi)\delta(y-\eta)\delta(z-\zeta) = 0 \quad \dots \dots \dots \quad (2)$$

で、ガウジ条件として,

$$G_c|_{s=0} = 0 \quad \dots \dots \dots \quad (3)$$

すなはち、 $0 \leq x \leq a$, $0 \leq y \leq b$, $0 \leq z \leq c$ で表される直方体の表面とする。Diracのδ関数を Fourier級数で表わし、 G_c を次のようにな級数展開する。

$$G_c(x, y, z; \xi, \eta, \zeta) = \sum_{m, n, p=1}^{\infty} Q_{mnp} \sin \frac{m\pi x}{a} \sin \frac{n\pi y}{b} \sin \frac{p\pi z}{c} \quad \dots \dots \dots \quad (4)$$

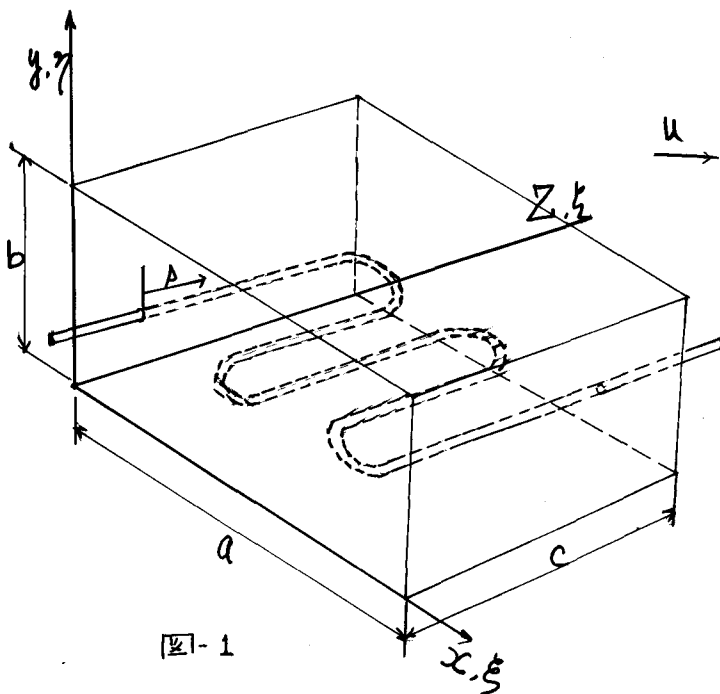


図-2

(4)式を(2)式に代入し、両辺を比較するこことよって

$$g_{mnp} = \frac{8}{abc} \frac{\sin \frac{m\pi}{a} \xi \sin \frac{n\pi}{b} \eta \sin \frac{p\pi}{c} \zeta}{\left(\frac{m\pi}{a}\right)^2 + \left(\frac{n\pi}{b}\right)^2 + \left(\frac{p\pi}{c}\right)^2} \quad \dots \dots \dots (5)$$

が得られる、(1)式の解として、

$$T_c = \int_{S^*} f(\xi, \eta, \zeta) \frac{\partial G_1}{\partial n_{\xi, \eta, \zeta}} dS_{\xi, \eta, \zeta}^* + \int_V \frac{q_c}{k_c} G_1(x, y, z; \xi, \eta, \zeta) dV_{\xi, \eta, \zeta} \quad \dots \dots \dots (6)$$

が得られる。

次に、図-2に示される1017°Kを112°Kとし、入口から計った距離をAとし、パイプ断面内の木の流量分布、温度分布をそれぞれu, Tw (断面内で一定と仮定)とすると、dA面の熱収支より、

$$\rho_w C_w u \frac{dTw}{dx} + q_c = 0 \quad \dots \dots \dots (7)$$

が得られる。uをパイプの径、たとえば1017度時の熱伝導率とすれば、

$$q_c = \frac{2 h}{r_o} (Tw - T_c) \quad \dots \dots \dots (8)$$

(6)式を(8)式に代入し、更に得られたTwを(7)式に代入すれば、1017°K吸収される熱量率q_cを未知数とする次の微積分方程式が得られる。

$$\rho_w C_w \frac{u r_o}{2 h} \frac{\partial q_c}{\partial x} + \rho_w C_w u \left[- \int_{S^*} f(\xi, \eta, \zeta) \frac{\partial^2 G_1}{\partial n \partial m} dS + \frac{1}{k_c} \int_V q_c \frac{\partial G_1}{\partial A} dV \right] + q_c = 0$$

上式を差分法にてき、実験値と比較することはより、たとえば1017°Kの熱伝導率hをあらわす式を求めてみることので、別の機会に報告する。